

JJG

中华人民共和国建设部部门计量检定规程

JJG(建设)0003—1996

基桩动测仪测量系统

中华人民共和国建设部
部门计量检定规程

基桩动测仪测量系统

JJG(建设)0003—1996

*

中国标准出版社出版
北京复兴门外三里河北街 16 号

邮政编码:100045

电 话:68522112

中国标准出版社秦皇岛印刷厂印刷
新华书店北京发行所发行 各地新华书店经售
版权专有 不得翻印

*
开本 850×1168 1/32 印张 1 1/4 字数 36 千字
1998 年 4 月第一版 1998 年 4 月第一次印刷
印数 1—800

*
书号: 155066·2-11893 定价 12.00 元

1997 年 5 月 21 日批准 1997 年 12 月 1 日实施

*
标目 331—064

中华人民共和国建设部

基桩动测仪测量系统

检定规程

Verification Regulation of
Measuring Subsystem of Pile
Dynamic Testing Instruments

JJG(建设)0003—1996

本检定规程经建设部于1997年5月21日批准，并自1997年12月1日起施行。

归口单位：建设部标准定额研究所

起草单位：中国建筑科学研究院

本规程技术条文由起草单位负责解释。

本规程主要起草人：

陈凡（中国建筑科学研究院）

参加起草人：

徐殷（中国计量科学研究院）

薛家麟（冶金部建筑研究总院）

吴成元（中国航空工业勘察设计研究院）

刘艳玲（中国建筑科学研究院）

目 录

一 概述	1
二 技术要求	1
(一) 基本要求	1
(二) 加速度测量系统	2
(三) 速度测量系统	2
(四) 应变测量系统	3
(五) 动态力测量系统	3
三 检定条件	4
四 检定项目和检定方法	6
(一) 系统外观检查	6
(二) 系统灵敏度检定	7
(三) 幅值频率响应检定	10
(四) 幅值非线性度检定	11
(五) 安装谐振频率检定	14
(六) 速度传感器的相频特性、固有频率和阻尼比检定	15
(七) 系统信噪比检定	15
五 检定结果处理和检定周期	16
附录 1 检定项目选择	17
附录 2 检定证书和检定结果通知书格式	19
附录 3 电气特性检定记录	26
附录 4 静态性能指标计算方法	27

基桩动测仪测量系统检定规程

本规程适用于新制造、使用中和维修后的基桩动测仪测量系统的检定。对于基桩动力检测的其它非专用仪器，参照本规程进行检定。

一 概 述

基桩动测仪是用于冲击或振动荷载作用下，工程基桩的桩身结构完整性和单桩竖向承载力检测的测试分析仪器，也可用于预制桩打桩过程监控。

基桩动测仪通常由测量和分析两个分系统组成。本规程只包括基桩动测仪测量系统。

测量系统由传感器、连接电缆、接插件、适调仪、数据采集器、记录指示器组成（以下简称被检系统）。根据被测物理量的不同，测量系统可分为：加速度、速度、应变和动态力四种子系统。其中应变子系统专指由5~10 cm 基距的工具式应变测力传传感器组成的测量量子系统。

二 技术要求

(一) 基本要求

- 1 被检系统有关技术特性应满足相应技术文件（如国家标准、行业标准）的要求。
 - 2 对于两个或两个以上的物理量测量系统，必须对每个物理量的测量子系统分别检定；对于同一物理量多通道测量系统，须对每个通道进行检定。
- 3 同一物理量测量子系统，应根据工程中实际采用的测试分析方法所要求的动态范围，进行技术指标检定。
- 4 系统各通道灵敏度的年稳定性优于3%。
- 5 被检系统的A/D转换精度优于8位。
- 6 被检系统信噪比大于40 dB。

7 衰减挡(或程控放大)偏差为士2%。

8 被检系统应包括传感器、连接电缆、接插件及适调放大器。仪器外壳上应标出型号、出厂编号、出厂日期和生产厂家，并附出厂说明书。

9 所有调节开关应标志明确、接触良好、操作灵活、定位准确，输入输出插座不允许松动。

10 图象、波形显示清晰，有明确示值的量化坐标。

(二) 加速度测量系统

11 系统参考灵敏度误差：振动偏差为士3%，冲击偏差为士5%。

12 幅值频率响应特性：给出灵敏度变化士5%、士10%时的工作频率范围。

13 幅值非线性度：在规定的振动加速度范围内不大于5%；在规定的冲击加速度范围内不大于10%。并给出工作范围。

14 用于冲击响应测量的加速度测量系统，零漂不大于2%FS。

15 传感器的安装谐振频率大于5 kHz。

16 生产厂家还应给出以下技术性能指标：谐振频率、极限加速度、绝缘电阻、电容、输出极性和横向灵敏度比。

16.1 对于内装放大式(集成电路式)压电加速度测量系统，第16条中的绝缘电阻和电容应分别改为输出阻抗和放电时间常数，并给出恒流源的电压和电流。

16.2 对于具有零频率响应的加速度计(如压阻式和电阻应变式)，16条中的电容应改为输出电阻和供桥电压。

(三) 速度测量系统

17 速度测量系统的参考灵敏度、具有实际使用意义的幅值频率响应范围和幅值非线性度参照第11～13条有关规定。

18 生产厂家应给出速度传感器的安装谐振频率、谐振频率、相频特性、固有频率、阻尼比、极限速度和横向灵敏度比。安装谐振频率不小于工作频率范围上限的两倍。

19 速度传感器应标出输出电阻值、绝缘电阻值、输出极性和安装角度的要求。

(四) 应变测量系统

20 静态性能指标

20.1 传感器灵敏度静态校准偏差为士2%；单独检定应变适调仪时的静态校准偏差为士2%。系统灵敏度静态校准综合误差不大于士3%(包括四线制接法时的电缆电阻影响)。

20.2 非线性度不大于0.5%FS。

20.3 带后不大于0.5%FS。

20.4 重复性不大于0.5%FS。

20.5 零点输出偏差为士10%FS。

20.6 传感器绝缘电阻大于500 MΩ。

20.7 传感器轴向刚度：铝材0.7士0.2 kN/mm，钢材2士0.5 kN/mm。

20.8 使用350 Ω电阻应变式传感器时，应变信号适调仪电阻平衡范围不应小于士1%。

20.9 应变信号适调仪零漂偏差为士1%FS/2h。

21 动态特性指标

21.1 应变信号适调仪在工作频率范围内的频率响应偏差为士0.5 dB。

21.2 传感器安装谐振频率大于2 kHz。

22 生产厂家还应给出以下技术性能指标：电气连接图、输入电阻、输出电阻、供桥电压、电缆长度和规格等技术性能指标。

(五) 动态力测量系统

23 静态性能指标

23.1 灵敏度、非线性度、滞后、重复性参照20.1～20.4款。

23.2 生产厂家还应给出传感器的额定力值、最大力值、绝缘电阻和电容。

23.2.1 对于内装放大式(集成电路式)压电力测量系统，应将23.2款中的绝缘电阻和电容分别改为输出阻抗和放电时间常数，并给出恒流源的电压和电流。

23.2.2 对于应变式荷重传感器，应将23.2款中的电容改为输入角速度的电压和电流。

输出电阻和供桥电压。

24 动态技术指标

24.1 力幅值非线性度不大于 5%。

24.2 传感器安装谐振频率:压电式大于 5 kHz, 电阻应变式大于 2 kHz。

25 对于应变式荷重传感器组成的动态力测量系统, 静态性能和动态性能分别参照 20.1~20.6 款和第 24 条有关规定; 相应的应变调理仪参照 20.1 及 21.1 款。

对于按照牛顿第二定律, 在激振锤体上安装加速度计的动态力测量系统, 参照第 11~16 条有关规定。

三 检定条件

26 环境条件

26.1 室温 20±5℃, 相对湿度不大于 80%。

26.2 周围无强电、磁场干扰; 无腐蚀性气、液体; 无振动、冲击源。

27 配套检定

将被检传感器及其配套的电缆和适调仪作为一体进行检定。

28 频率响应、安装谐振频率等动态性能检定时, 传感器的安装方法与实际使用时类同。

29 动态性能检定时, 不宜使用低通滤波器。

30 检定前必须对整套测量仪器通电预热, 预热时间应符合制造厂的规定。一般不少于 1.5 min。

31 检定用仪器设备
加速度、速度、应变和动态力测量系统检定用仪器分别见表 1、表 2 和表 3。

表 1 加速度及速度测量系统检定用仪器

序号	检定项目	检定用仪器		检定装置误差
		名称	技术要求	
1	系统灵敏度	中频振动标准装置	横向<10% 失真度<3% 信噪比大于 60 dB	参考灵敏度误差≤±0.5%, 在频率 20~1 000 Hz 范围内 灵敏度误差≤±1%, 横向灵敏度比≤3%
2	频率响应和(安装)谐振频率	标准加速度传感器套组 电压表和频率计	横向<1% 失真度<3%	±2%
3	幅值线非线性度	共振梁中频振动标准装置	≤4 000 m·s ⁻²	±2%
4	传感器绝缘电阻	冲击检定装置 高阻表	500~50 000 m·s ⁻² 测量范围在 10 ⁹ ~10 ¹² Ω, 检定电压为 100 V	±2%~±5%

表2 应变测量系统检定用仪器

序号	检定项目	检定用仪器		检定装置 误差
		名称	技术要求	
1 静态 特性	工具式应变传感器	标准模拟应变量校准器	测量范围0~ $10^4 \mu\epsilon$,分辨率≤ $1 \mu\epsilon$	±0.2%
		微位移发生器及应变指示器	测量范围2 000 $\mu\epsilon$,分辨率≤ $1 \mu\epsilon$	±1%
		供桥电源	直流5±0.002 V	
		数字电压表	分辨率≤1 μ V	
2 动态 特性	工具式应变传感器	高阻表	2 000 MΩ	±5%
		动态模拟应变频响仪	测量范围20~10 kHz,幅频特性误差≤±1%,相频误差≤3°	±2%
		瞬态波形记录仪和双通道频谱分析仪	采样频率≥100 kHz	±2%

表3 动态力测量系统检定用仪器

序号	检定项目	检定用仪器		检定装置 误差
		名称	技术要求	
1 静态 特性	力标准机	力值≤1 000 kN		±0.1%
		力值>1 000 kN		±0.3%
		高阻表	同加速度测量系统	±10%
2 动态 特性	冲击力源	500 N~5 000 kN		±3%
		标准加速度套组	同加速度测量系统	
		A/D转换精度优于10位,采样频率≥100 kHz		
	瞬态波形记录仪			

(二) 系统灵敏度检定

33 加速度测量系统

33.1 工程测试中振动或冲击加速度幅值小于或等于 $500 \text{ m} \cdot \text{s}^{-2}$,采用正弦激振,将被检传感器与标准加速度计背靠背刚性安装在中频校准振动台面中心,外接相应的信号适调仪,将校准振动台调到一定频率(通常为160 Hz,第二选择为80 Hz)和参考加速度100 $\text{m} \cdot \text{s}^{-2}$ (第二选择 $10 \text{ m} \cdot \text{s}^{-2}$)以及信号适调仪量程在规定档位时,测出基桩动测仪的电压输出与所承受的加速度值(由标准加速度计控制)之比为加速度测量系统灵敏度。

同一加速度幅值下的振动灵敏度

$$S_{a,v} = \frac{A_{\text{peak}}}{A_{\text{st,peak}}} \times S_{\text{st}} \quad (1)$$

式中:
 A_{peak} ——被检系统测得的加速度峰值;
 $A_{\text{st,peak}}$ ——标准加速度套组输出的加速度峰值;
 S_{st} ——标准加速度计的参考灵敏度, $[\text{V}/(\text{m} \cdot \text{s}^{-2})]$ 或
 $\text{PC}/(\text{m} \cdot \text{s}^{-2})$ 】。

33.2 工程测试中冲击加速度幅值大于 $500 \text{ m} \cdot \text{s}^{-2}$,按厂家提供的传感器振动或冲击灵敏度,设置好信号适调仪的量程和记录仪器,使冲击脉冲的记录获得最佳的信噪比。采用能产生半正弦冲击脉冲波形的跌落式冲击台,将传感器安装在一个刚性锤体上,使其自由下落,与一个标准力传感器对心碰撞(冲击力法);或将被检传感器与标准加速度计背靠背地安装在一个刚性锤体上,进行检定(冲击比较法)。通过毡垫、橡皮垫等调节脉冲使之达到要求的脉冲宽度。在一系列选用的冲击脉冲宽度和幅值下,确定被检系统的冲击灵敏度。

33.2.1 优选加速度幅值
幅值优先选用以下数值:

1 000 $\text{m} \cdot \text{s}^{-2}$,3 000 $\text{m} \cdot \text{s}^{-2}$,5 000 $\text{m} \cdot \text{s}^{-2}$,10 000 $\text{m} \cdot \text{s}^{-2}$,第一选择3 000 $\text{m} \cdot \text{s}^{-2}$,第二选择5 000 $\text{m} \cdot \text{s}^{-2}$ 。

四 检定项目和检定方法

- (一) 系统外观检查
32 按本规程第8~10条的规定进行外观检查。
- (2) $S_{a,s} = \frac{A_{\text{peak}}}{A_{\text{st,peak}}} \times S_{\text{st}}$

式中： A_{peak} ——被检系统测得的加速度峰值；

$A_{\text{st,peak}}$ ——标准加速度套组输出的加速度峰值；

S_{st} ——标准加速度计的参考灵敏度， $[\text{V}/(\text{m} \cdot \text{s}^{-2})]$ 或 $\text{pC}/(\text{m} \cdot \text{s}^{-2})$]。

注：采用冲击力法检定时，首先确定锤体与安装在锤体上的被检加速度计质量之和 m_h ， S_{st} 为标准力传感器的参考灵敏度除以 m_h 。

检定结果应符合第 11 条的规定。

34 速度测量系统

将标准加速度计和被检速度传感器背靠地刚性连接于振动台台面中心，在被检速度传感器动态范围内选某一指定频率（根据所采用的试桩方法确定）和某一指定速度值进行校准。被检速度测量系统的输出电压值和所承受的速度值之比为灵敏度。

速度测量系统参考灵敏度按下式计算

$$S_v = 2\pi f R S_{\text{st}} \quad (3)$$

式中： S_v ——被检速度测量系统参考灵敏度， $[\text{mV}/(\text{cm} \cdot \text{s}^{-1})]$ ；

R ——基桩动测仪速度测量系统的输出电压与标准加速度计输出电压之比；

输出电压之比；

f ——频率， (Hz) 。

检定结果应符合第 17 条的规定。

35 应变测量系统静态性能检定

35.1 将传感器浸水 1 h 后，使用外加电压 100 V 的高阻表，测量传感器的绝缘电阻。

检定结果应符合 20.6 款的规定。

35.2 将传感器安装到微位移发生器上，将供桥电源、数字电压表接到传感器电气回路，从零加载到额定应变三次，每次加载后退回到零，以上为预加载阶段。然后进行正式校准。

从零逐级（不少于 5 级，均匀分布）加载到额定应变，再逐级卸至零，记录每级输出值。至少完成三个标定循环。

35.3 一个标定循环包括一个正行程，一个反行程。正、反行程中，不得产生与正行程方向相反的回程现象。

35.4 在执行 35.2~35.3 款的检定过程中，室内温度变化应小于 $\pm 0.1^\circ\text{C}$ 。

35.5 根据记录数据，采用最小二乘法确定传感器的工作直线，该工作直线的斜率即为传感器的灵敏度。传感器的线性度、滞后和重复性等静态性能指标参照附录 4 的计算方法确定。

检定结果应符合 20.1~20.4 款的规定。

35.6 零点输出

将传感器水平放置在玻璃板上，接入供桥电压，用数字电压表测量传感器输出。

检定结果应符合 20.5 款的规定。

35.7 传感器轴向刚度检定

将传感器的一端悬挂在固定，接入供桥电压，在传感器另一端加砝码，测量传感器输出轴向应变值。传感器的轴向变形用下式计算

$$\Delta L = \epsilon_x \times L \quad (4)$$

式中： ΔL ——传感器的轴向变形（mm）；

ϵ_x ——传感器输出轴向应变值（ $\mu\epsilon$ ）；

L ——传感器基距（mm）。

用下式计算传感器轴向刚度

$$K_s = \frac{F_{\text{fs}}}{\epsilon_{x,\text{fs}} \times L} \quad (5)$$

式中： F_{fs} ——满量程轴向应变输出时的砝码重量（kN）；

$\epsilon_{x,\text{fs}}$ ——传感器满量程轴向输出应变值（ $\mu\epsilon$ ）；

K_s ——传感器轴向刚度（ kN/mm ）。

检定结果应符合 20.7 款的规定。

35.8 参照计量检定规程 JJG 623—89《电阻应变仪》中的有关规定，采用标准模拟应变量校准器检定应变信号适调仪的示值误差。检定结果应符合 20.1 款和 20.8 款的规定。

35.9 信号适调仪零点漂移的检定参照 JJG 623—89 检定方法。检定结果应符合 20.9 款的规定。

36 动态力测量系统静态性能检定

36.1 使用外加电压 100 V 的高阻表或静电计, 测量传感器端点间的绝缘电阻。

36.2 预加载三次, 每次加载到额定力值, 然后退回到零值。每次施加载力值前, 调好信号适调仪和指示仪表的零点。

36.3 通常以相同的增量施加递增力值, 直到额定值。所施加力值的级数应选 5~10 级(不包括零值), 每加一级力值后保持一定时间, 再读取输出值。然后以同样的方法施加递减力值和读取输出值, 直到零值, 读取零输出值。

36.4 重复 36.3 款的步骤进行检定, 至少三次。每次开始施加载力值前, 调好信号适调仪和指示仪表的零点。

36.5 按下面公式计算相应的灵敏度

$$V_n = \frac{1}{m} \sum_{j=1}^m V_{nj} \quad (6)$$

$$S_F = \frac{V_n}{F_n} \quad (7)$$

式中: m ——检定循环次数;

V_{nj} ——第 j 次 ($j=1, 2, \dots, m$) 进程测量对于额定力值时的基

桩动测仪电压输出;

F_n ——额定力值。

按照附录 4 的计算方法, 采用端点连线平移线法确定工作直线, 计算线性度、滞后和重复性等静态性能指标。

检定结果应符合 23.1 款的规定。

37 系统灵敏度的年稳定性检定

系统的稳定性通常以年稳定性来衡量, 即正常使用的测量系统各通道在相同的检定精度和检定条件下, 其灵敏度的逐年变化情况。

检定结果应符合第 4 条的规定。如不符合, 可适当缩短检定周期。

(三) 幅值频率响应检定

38 加速度测量系统

38.1 逐点比较法

将被检系统的传感器与一个频率响应已知的传感器安装在振动台

上, 采用正弦激励, 在选定的频率范围内, 按倍频程至少选取 6 个频率点(其中 160 Hz、80 Hz 为必测点), 确定不同频率下的灵敏度。其结果以参考灵敏度的百分偏差给出。

$$e_{fi} = \frac{S_{si} - S_{st}}{S_{st}} \times 100\% \quad (8)$$

式中: e_{fi} ——第 i 个测点的频率响应偏差;

S_{si} ——第 i 个测点的灵敏度。

38.2 连续扫描法

由振动台及其内装标准加速度计等组成闭环扫描系统, 使被检传感器在自动扫频中受到一个恒定的加速度值。记录出基桩动测仪的灵敏度随频率变化曲线。描绘出从低频到超过谐振频率范围连续频域的频响情况。

39 速度测量系统

检定结果应符合第 12 条的规定。
检定结果应符合第 17 条的规定。
40 应变适调仪频响误差

参照计量检定规程 JJG 623—89《电阻应变仪》中的有关规定, 采用动态电阻模拟应变频响仪检定应变信号适调仪的频响误差。
检定结果应符合 21.1 款的规定。

(四) 幅值非线性度检定

41 加速度测量系统

在规定的加速度范围内, 选定至少 7 点(包括最大和最小的加速度值)检定基桩动测仪输出灵敏度在不同加速度时的变化情况。
根据传感器的使用范围, 幅值非线性度可采用以下方法进行检定。

41.1 使用中加速度幅值小于或等于 500 m·s⁻² 可用电磁振动台正弦激刷法检定, 将被检系统的传感器与一只幅值线性度已知的标准传感器进行比较, 即比较法检定。

41.2 用振动台加上共振梁可标定至 4 000 m·s⁻², 也可通过测

共振梁的振幅进行绝对法检定。

41.3 冲击加速度幅值大于 $500 \text{ m} \cdot \text{s}^{-2}$, 采用冲击检定装置, 参照第 33.2 款进行检定。

幅值非线性度采用最小二乘法计算, 其计算步骤如下:

由 n 次检定的加速度 a_i 与灵敏度 $S_{a,i}$ 值, 求出回归直线方程:

$$\bar{S}_a = S_0 + K a \quad (9)$$

式中: \bar{S}_a —— 灵敏度计算值;

S_0 —— 截距;

K —— 斜率;

a —— 加速度值。

$$\text{斜率 } K = \frac{\sum_{i=1}^n a_i S_{a,i} - \bar{a} \sum_{i=1}^n S_{a,i}}{\sum_{i=1}^n a_i^2 - \bar{a} \sum_{i=1}^n a_i} \quad (10)$$

$$\text{截距 } S_0 = \frac{\bar{S}_a \sum_{i=1}^n a_i^2 - \bar{a} \sum_{i=1}^n a_i S_{a,i}}{\sum_{i=1}^n a_i^2 - \bar{a} \sum_{i=1}^n a_i} \quad (11)$$

$$\begin{aligned} & \text{灵敏度平均值 } \bar{S}_a = \frac{\sum_{i=1}^n S_{a,i}}{n} \\ & \text{加速度平均值 } \bar{a} = \frac{\sum_{i=1}^n a_i}{n} \end{aligned} \quad (12)$$

$$\begin{aligned} & \text{灵敏度平均值 } \bar{S}_a = \frac{\sum_{i=1}^n S_{a,i}}{n} \\ & \text{其中: } i=1, 2, 3, \dots, n, n \text{ 为测量次数。} \end{aligned} \quad (13)$$

将给定加速度 a 代入回归直线方程 $\bar{S}_a = S_0 + K a$, 即可求出在该加速度 a 时的灵敏度 \bar{S}_a , 然后代入加速度幅值非线性度公式:

$$\gamma_a = \frac{\bar{S}_a - S_0}{S_0} \times 100\% \quad (14)$$

检定结果应符合第 13 条的规定。

41.4 每次冲击后, 检查冲击加速度波形的基线漂移(零漂)情况。取基线漂移最大者与受冲击加速度计满度输出相比, 即为加速度计的零漂值。对于实际使用中冲击加速度幅值小于 $500 \text{ m} \cdot \text{s}^{-2}$ 的加速度计, 选用冲击加速度幅值不超过传感器额定加速度值的低幅冲击, 确定零漂指标。

零漂指标应符合第 14 条的规定。

42 速度测量系统

参照 41.1 款, 在规定的速度范围内检定速度传感器的幅值非线性度, 其计算方法同加速度测量系统。

检定结果应符合第 17 条的规定。

43 动态力测量系统

43.1 施加递增的动态力值, 读取(或打印)标准加速度套组和被检测量系统的输出值及输出波形的脉冲持续时间。

43.2 施加的动态力值应覆盖被检传感器的额定范围或欲使用范围, 力值级数不得少于五级, 在每一级动态力值附近至少做三次。

43.3 由 n 次检定的动态力 $F_{d,i}$ 与灵敏度 $S_{F,i}$, 参照 41.3 款, 采用最小二乘法计算幅值非线性度。回归直线方程如下:

$$\bar{S}_F = S_0 + K F_d \quad (15)$$

式中: \bar{S}_F —— 灵敏度计算值;

F_d —— 动态力值;

K —— 根据公式(10)计算的斜率, 计算时用 $S_{F,i}$ 和 $F_{d,i}$ 分别替换公式(10)中的 $S_{a,i}$ 和 a_i ;

S_0 —— 根据公式(11)计算的截距, 计算时用 $S_{F,i}$ 和 $F_{d,i}$ 分别替换公式(11)中的 $S_{a,i}$ 和 a_i 。

$$\gamma_F = \frac{|\bar{S}_F - S_{F,FS}|}{S_{F,FS}} \times 100\% \quad (16)$$

式中: γ_F —— 力幅值非线性度;

$S_{F,FS}$ —— 当 F_d 为满量程动态力值时, 代入公式(15)计算出的灵敏度 \bar{S}_F 值。

$$b = \frac{m \sum_{j=1}^m x_j^2 \bar{y}_j - \sum_{j=1}^m x_j \sum_{j=1}^m \bar{y}_j}{m \sum_{j=1}^m x_j^2 - (\sum_{j=1}^m x_j^2)^2} \quad (4-19)$$

式中： x_j ——为第 j 个校准点上的输入值；
 \bar{y}_j ——为第 j 个校准点上正反行程校准数据的算术平均值。

检定结果应符合 24.1 款的规定。

(五) 安装谐振频率检定

44 加速度传感器的安装谐振频率测定

44.1 连续扫描法

方法与频率响应相同, 参见 38.2 款。

44.2 冲击法

将加速度传感器安装在质量为其 10 倍的高弹性模量材料做成的立方体或细长比接近于 1 的圆柱体砧子上, 然后给砧子施加一瞬间冲击, 持续时间小于加速度传感器安装谐振周期, 用波形记录装置记录加速度传感器输出的激振波形, 然后根据时标(或用频谱分析)确定其安装谐振频率。

检定结果应符合第 15 条的规定。

45 速度传感器的安装谐振频率测定

在速度传感器安装方式与实际测桩类同的条件下, 参照 38.2 款的方法, 使传感器在自动扫频中受到一个恒定的速度值, 进而确定安装谐振频率。

检定结果应符合第 18 条的规定。

46 应变传感器的安装谐振频率测定

将应变传感器轴向安装在两面贴有电阻应变计的高弹性模量材料制成的棱柱体试件上(电阻应变计对横向弯曲应能完全补偿)。试件长为应变传感器基距的 2 倍, 宽为 45 mm, 高为 25 mm(例如: 对于 150 mm 基距的钢材质棱柱体, 其一阶纵向固有频率约为 17 kHz, 两个方向的一阶横向弯曲固有频率约分别大于 5 kHz 和 8 kHz)。将测量系统作为信号采集和处理装置。沿传感器敏感轴方向用锤头冲击棱柱体一端, 记录应变传感器与电阻应变计输出信号, 并进行比较。对记录或存储的传感器阻尼衰减振荡信号进行频谱分析, 将试件的固有频率和传感器的振荡频率分开, 具有较大幅值的最低振荡频率为应变传感器的安装谐振频率。

检定结果应符合 21.2 款的规定。

47 动态力传感器的安装谐振频率测定

47.1 对被检传感器施加脉冲力信号, 响应是阻尼衰减振荡的瞬变过程, 记录或储存传感器响应信号, 至少重复三次。

47.2 对记录或储存的阻尼衰减振荡信号进行频谱分析, 具有较大幅值的最低振荡频率为传感器的安装谐振频率。

(六) 速度传感器的相频特性、固有频率和阻尼比检定
检定结果应符合 24.2 款的规定。

48 谐振频率测定

在低频垂直振动台上, 将标准加速度计和被检速度传感器背靠背地刚性连接在振动台面上, 采用正弦激振, 保持一定的速度值, 缓慢地由低到高改变激振频率, 用电压表量测出被检速度传感器在各个激振频率下的输出电压值, 输出最大电压值时的激振频率为被检速度传感器的谐振频率。

49 相频特性和固有频率测定

在低频垂直振动台上, 将相对式速度传感器和被检的速度传感器背靠背地刚性连接在振动台面上, 采用正弦激振, 保持一定的速度值, 相对式速度传感器与被检速度传感器的输出接到相位计或示波器上, 缓慢地由低到高改变激振频率, 记录相对式速度传感器与被检速度传感器输出电压相位差。当相对式速度传感器与被检速度传感器输出相位差 90° 时, 在示波器荧光屏上出现稳定的圆图形(或近似的圆形), 此时对应的激振频率为被检速度传感器的固有频率。

50 阻尼比

根据谐振频率和相频特性的固有频率, 计算阻尼比 D

$$D = \sqrt{\frac{f_r^2 - f_n^2}{f_r^2}} \quad (17)$$

式中: f_r ——幅频特性时的谐振频率(Hz);

f_n ——相频特性时的固有频率(Hz)。

(七) 系统信噪比检定

51 将传感器及其配套电缆连接在相应测量系统各通道的输入端, 根据所采用试桩方法的测量范围, 使信号适调仪的量程挡位在测量范围上限, 调节适调仪各通道输出零点(或平衡)。在测量系统处于工作

状态,而传感器无信号输出时,读取测量系统各通道输出端的输出电压有效值。按下式计算各通道的信噪比 N (dB)

$$N = 20 \lg \frac{U_{fs}}{U_n} \quad (18)$$

式中: U_{fs} ——在测量范围上限时测量系统通道的满度输出电压有效值(V_{rms});

U_n ——测量系统通道输出端的输出噪声电压有效值(V_{rms})。

比较各通道信噪比,取最小值作为被检系统的信噪比指标。检定结果应符合第 6 条的规定。

五 检定结果处理和检定周期

5.2 经检定符合本规程各项要求的测量系统,由国家授权的计量检定部门发给检定证书。

5.3 凡有一项检定不合格的测量系统,只发给检定结果通知书,并注明不合格项目。

5.4 系统检定周期为一年。送检时应附带上次检定证书。

5.5 使用较频繁的或在恶劣环境中使用的仪器,可视具体情况适当缩短检定周期。修理和调试过的测量系统应及时送检。

附录 1

检定项目选择

序号	检定项目	测量子系统	设计定型	出厂检定 用户验收	计量周期检定方法条款
1	参考灵敏度	加速度	○	○	33
	速度	○	○	○	34
	应变	○	○	○	35
	动态力	○	○	○	36
2	幅频响应	加速度	○	△	38
	速度	○	○	○	39
	应变适调仪	○	○	△	40
	速度	○	○	○	41
3	幅值非线性度	加速度	○	★	41
	速度	○	○	△	42
	动态力	○	○	△	43
	速度	○	△	△	44
4	传感器安装	○	○	○	45
	谐振频率	○	△	△	46
5	相频特性	○	△	△	47
	速度	○	○	△	49
6	固有频率	○	○	△	49
	速度	○	○	○	37
7	年稳定性	加速度	○	○	37
	应变	○	○	○	37
	动态力	○	○	○	37

续表

附录 2

检定证书和检定结果通知书格式

序号	检定项目	测量子系统	设计定型	出厂检定 用户验收	计量周期检定	检定方法条款
8	信噪比	全部测 量通道	○	○	△	51
9	非线性	应变 动态力	○	○	△	35. 2~35. 5
10	滞后	应变 动态力	○	△	△	36. 2~36. 5
11	重复性	应变 动态力	○	△	△	35. 2~35. 5
12	阻尼比	速度	○	○	△	48~50
13	零漂	加速度 应变适调仪	○	△	★	41. 4
14	刚度	应变	○	△		35. 9
15	绝缘电阻	应变 动态力		○	△	35. 7
						35. 1
						36. 1

表中“○”表示必须检定的项目；“△”表示视需要选择的检定项目；
 “★”表示作振动用的加速度计根据用户要求可检定也可不检定，但作
 冲击用时一定要周期检定；空白为可免检项目。

根据检定结果，准予该计量器具作_____使用。

实验室主任 _____
 核验员 _____
 检定员 _____

检定日期 年 月 日
 有效期至 年 月 日

2 加速度测量系统

3 速度测量系统

检定证书内面格式

基桩动测仪型号 _____, 由 _____ 测量子系统组成。
 测量范围 _____, 类型 _____。室温 _____ °C, 相对湿度 _____ %。

检定结果		检定结果
外观		外观
在指定频率点和加速度值时的灵敏度 $S_{a,v}$ 或 $S_{a,s}$ (mV/(m · s ⁻²))		在指定频率点和速度值时的灵敏度 S_v (mV/(cm · s ⁻¹))
幅频响应 (Hz, 误差 ± 5% 或 ± 10%)		幅频响应 (Hz, 误差 ± 5% 或 ± 10%)
幅值非线性度 γ_a (% , 在规定的加速度幅值 内)		幅值非线性度 γ_v (% , 在规定的速度幅值内)
传感器安装谐振频率 (Hz)		传感器安装谐振频率 (Hz)
年稳定性 S_b (%)		年稳定性 S_b (%)
零漂 Z_d (% FS)		阻尼比 D
		相频误差 (Hz, 相位偏差 5° 或 10°)

被检传感器名称 _____
 检定用仪器：
 振动台 _____
 标准加速度套组 _____
 电压表 _____
 频率计 _____

型号 _____
 被检传感器名称 _____
 检定用仪器：
 振动台 _____
 波形记录装置 _____
 电容测试仪 _____
 电压表 _____

检定证书内面格式

基桩动测仪型号 _____, 由 _____ 测量子系统组成。
 测量范围 _____, 类型 _____。室温 _____ °C, 相对湿度 _____ %。

检定结果		检定结果
外观		外观
在指定频率点和速度值时的灵敏度 S_v (mV/(cm · s ⁻¹))		在指定频率点和速度值时的灵敏度 S_v (mV/(cm · s ⁻¹))
幅频响应 (Hz, 误差 ± 5% 或 ± 10%)		幅频响应 (Hz, 误差 ± 5% 或 ± 10%)
幅值非线性度 γ_v (% , 在规定的速度幅值内)		幅值非线性度 γ_v (% , 在规定的速度幅值内)
传感器安装谐振频率 (Hz)		传感器安装谐振频率 (Hz)
谐振频率 f_r (Hz)		谐振频率 f_r (Hz)
固有频率 f_n (Hz)		固有频率 f_n (Hz)
阻尼比 D		阻尼比 D
		相频误差 (Hz, 相位偏差 5° 或 10°)

4 应变测量系统

5 动态力测量系统

检定证书内面格式

基桩动测仪型号 _____, 由 _____ 测量子系统组成。
 测量范围 _____, 接线制 _____。室温 _____ °C, 相对湿度 _____ %。

检 定 结 果	
外观	检 定 结 果
灵敏度 S_s (mV/Unit)	灵敏度 S_F (mV/Unit)
非线性度 ζ_L (%FS)	非线性度 ζ_L (%FS)
滞后 ζ_H (%FS)	滞后 ζ_H (%FS)
重复性 ζ_R (%FS)	重复性 ζ_R (%FS)
零点输出 Z_0 (%FS)	年稳定性 S_b (%)
零点漂移 Z_d (%FS/2h)	幅值非线性度 γ_f (%) (在规定的动态力幅值内)
年稳定性 S_b (%)	传感器安装谐振频率 (Hz)
应变调频仪标定 (示值) 误差 (%)	
工具式应变传感器刚度 (kN/mm)	
应变调频仪频响 (Hz, 误差 ± 0.5 dB)	
传感器安装谐振频率 (Hz)	
最大电阻平衡范围 (%)	

被检传感器名称 _____ 结构形式 _____ 桥压 _____ 电缆长度、电阻 _____
 检定用仪器：
 微位移发生器 _____ 数字电压表 _____
 微位移指示器 _____ 标准模拟应变校准器 _____
 波形记录装置 _____ 动态模拟应变频响仪 _____
 检定用仪器：
 力标准机 _____ 频谱分析仪 _____
 标准加速度套组 _____ 瞬态波形记录仪 _____

检定证书内面格式

基桩动测仪型号 _____, 由 _____ 测量子系统组成。
 测量范围 _____, 类型 _____。室温 _____ °C, 相对湿度 _____ %。

外观	检 定 结 果
灵敏度 S_F (mV/Unit)	
非线性度 ζ_L (%FS)	
滞后 ζ_H (%FS)	
重复性 ζ_R (%FS)	
零点输出 Z_0 (%FS)	
零点漂移 Z_d (%FS/2h)	
年稳定性 S_b (%)	
应变调频仪标定 (示值) 误差 (%)	
工具式应变传感器刚度 (kN/mm)	
应变调频仪频响 (Hz, 误差 ± 0.5 dB)	
传感器安装谐振频率 (Hz)	
最大电阻平衡范围 (%)	

型号 _____
 冲击力源 _____
 瞬态波形记录仪 _____

6 检定结果通知书格式

检定结果通知书 (检定单位名称)

字第号

计量器具名称_____
型号规格_____
制造厂_____
出厂编号_____
送检单位_____
检定结论：

实验室主任
员 员

檢定日期
年 月 日

7 检定结果通知书背面格式

基桩动测仪型号_____，由_____测量子系统组成。
经检定，不合格项目为_____。

特此通知，请修理、调试后送检。

附录 3

电气特性检定记录

基桩动测仪型号 , 由 测量子系统组成。
温度 °C, 相对湿度 %。

送检单位_____
交流毫伏表_____
电容测试仪_____
阻表_____
接线柱_____

厂造制

校对 _____ 年 _____ 月 _____ 日

静态性能指标计算方法

附录 4

1 平均校准曲线的确定
设在传感器的整个测量范围内有 m 个校准点，并进行 n 次循环校准，
则任一校准点上有 n 个正行程校准数据和 n 个反行程校准数据时，
全部 m 个校准点共有 $2mn$ 个校准数据（只有 n 个正行程校准数据时，
全部 m 个校准点共有 mn 个校准数据）。
计算每个校准点上正行程校准数据的算术平均值和反行程校准数
据的算术平均值：

$$(\text{4-1})$$

$$\bar{y}_{Dj} = \frac{1}{n} \sum_{i=1}^n y_{Di} \quad (4-2)$$

式中: \bar{y}_{ij} ——第 j 个校准点上正行程校准数据的算术平均值; ($j=1 \sim m$)
 \bar{y}_{bj} ——第 j 个校准点上反行程校准数据的算术平均值; ($j=1 \sim m$)

y_{ij} ——第 j 个校准点上正行程的第 i 个校准数据；($i=1 \sim n$)
 y_{Dij} ——第 j 个校准点上反行程的第 i 个校准数据。($i=1 \sim n$)
 连接各校准点上正行程校准数据平均值 $\bar{y}_{j1}, \bar{y}_{j2}, \dots, \bar{y}_{jm}$ 的曲线称“正行程校准曲线”，连接各校准点上反行程校准数据平均值 $\bar{y}_{Dj1}, \bar{y}_{Dj2}, \dots, \bar{y}_{Djm}$ 的曲线称“反行程校准曲线”。

计算各校准点上正行程平均值 \bar{y}_d 和反行程平均值 y_b 的算术平均

$$\bar{y}_j = \frac{1}{2}(\bar{y}_{ij} + \bar{y}_{Dj}) \quad (4-3)$$

各校准点上正反行程平均校准数据的平均值 $y_1, y_2, \dots, y_i, \dots, y_m$ 的连线称“平均校准曲线”，或简称“平均校准曲线”。

2 重复性

按贝塞尔公式计算每个校准点上的正、反行程子样标准偏差：

$$S_{ij} = \sqrt{\frac{1}{n-1} \sum_{i=1}^n (y_{ij} - \bar{y}_{ij})^2} \quad (4-4)$$

$$S_{bj} = \sqrt{\frac{1}{n-1} \sum_{i=1}^n (y_{bij} - \bar{y}_{bij})^2} \quad (4-5)$$

式中： S_{ij} ——第 j 个校准点上正行程校准数据的子样标准偏差；($j=1 \sim m$)

S_{bj} ——第 j 个校准点上反行程校准数据的子样标准偏差。($j=1 \sim m$)

按(4-4)和(4-5)式可计算出各校准点上正行程和反行程的子样标准偏差：

$$\begin{aligned} S_{11}, S_{12}, \dots, S_{1j}, \dots, S_{1m}; \\ S_{21}, S_{22}, \dots, S_{2j}, \dots, S_{2m}. \end{aligned}$$

假设在传感器整个测量范围内具有相同的方差，那么各校准点上的子样方差的数学期望将是总体方差 σ^2 。

因此：

$$S = \sqrt{\frac{1}{2m} \left[\sum_{j=1}^m S_{1j}^2 + \sum_{j=1}^m S_{2j}^2 \right]} \quad (4-6)$$

将是总体标准偏差的估值， S 可反映输出值的重复程度，故取 S 作为计算重复性指标的依据。

$$\text{重复性 } \zeta_r = \frac{3S}{y_{fs}} \times 100\% \quad (4-7)$$

式中： y_{fs} ——满量程输出值。

3 带后

计算测量范围内每个校准点上正反行程校准数据平均值之差：

$$(\Delta y_{rh})_j = |\bar{y}_{1j} - \bar{y}_{2j}| \quad (4-8)$$

式中： $(\Delta y_{rh})_j$ ——第 j 个校准点上正反行程校准数据平均值之差的绝对值，称为第 j 个校准点上的带后值。

设备校准点上最大滞后值为 $|\Delta y_H|_{max}$ ，则可按下式计算滞后指标：

$$\text{滞后 } \zeta_h = \frac{|\Delta y_H|_{max}}{y_{fs}} \times 100\% \quad (4-9)$$

因此滞后指标可反映迟滞的极限值。见图 4-1。

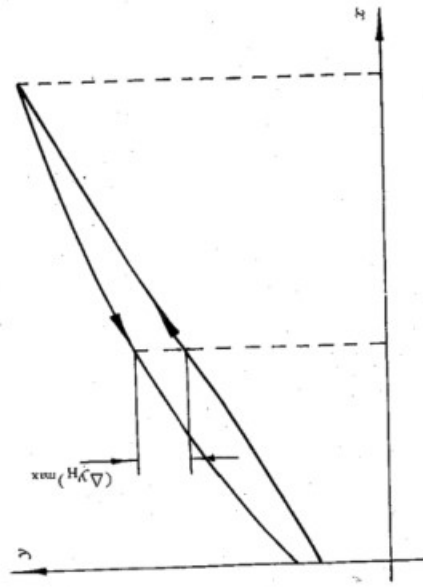


图 4-1

4 非线性度

设图 2 中的直线 AB 为工作特性，曲线 CD （虚线）为平均校准曲线，则平均校准曲线与工作直线间的偏差 Δy_L 称为非线性误差。若整个测量范围内非线性误差的绝对值的最大值，即非线性误差的极限值为 $|\Delta y_L|_{max}$ ，则非线性度的定义为：

$$\text{非线性度 } \zeta_L = \frac{|\Delta y_L|_{max}}{y_{fs}} \times 100\% \quad (4-10)$$

因此，非线性度可反映非线性误差的极限值。见图 4-2。

式中: \bar{y}_l 为对应于测量下限的平均输出值, 亦即端点连线的截距 a ,

$x_H - x_L$ 为满量程输入值;

$\frac{\bar{y}_H - \bar{y}_L}{x_H - x_L}$ 为端点连线的斜率 b 。

满量程输出值为:

$$y_{fs} = |b(x_H - x_L)| \quad (4-14)$$

由端点连线方程, 计算各校准点上正、反行程校准曲线与端点连线之偏差 $(\Delta y_{l,H})$ 。

设整个测量范围内数值最大的正偏差为 $(\Delta y_{l,H})'_{max}$, 数值最大的负向偏差为 $(\Delta y_{l,H})''_{max}$, 那么端点连线平移线就与端点连线平行, 并使校准曲线与它的偏差极限值为:

$$|\Delta y_{l,H}|_{max} = \left| \frac{1}{n} [(\Delta y_{l,H})'_{max} - (\Delta y_{l,H})''_{max}] \right| \quad (4-15)$$

的直线。

5 工作直线的选取

5.1 端点连线平移线

端点连线平移线可按如下方法计算。

设传感器测量下限的输入值为 x_L , 对应于测量下限的正行程校准数据平均值为 \bar{y}_{dl} , 则正反行程平均值的平均值为

$$\bar{y}_l = \frac{1}{2} (\bar{y}_H + \bar{y}_{dl}) \quad (4-11)$$

又设传感器测量上限的输入值为 x_H , 对应于测量上限的正行程校准数据平均值为 \bar{y}_{dh} , 对应于测量上限的反行程校准数据平均值为 \bar{y}_{bh} , 则正反行程平均值的平均值为

$$\bar{y}_H = \frac{1}{n} (\bar{y}_{dh} + \bar{y}_{bh}) \quad (4-12)$$

连接 (x_L, \bar{y}_l) 和 (x_H, \bar{y}_H) 的直线称端点连线。其方程如下:

$$y = a + bx$$

$$y_{Epi} = \bar{y}_l + \frac{\bar{y}_H - \bar{y}_l}{x_H - x_L} x \quad (4-13)$$

最小二乘法直线的斜率为:

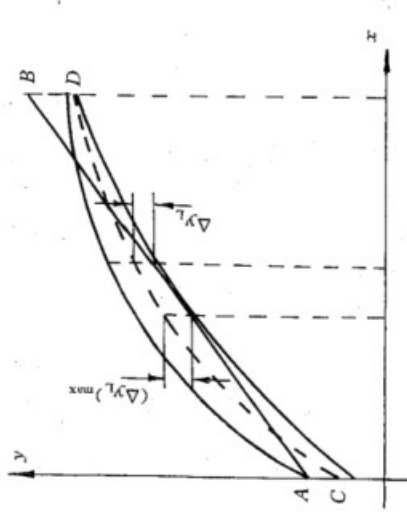


图 4-2

由端点连线方程, 计算各校准点上正、反行程校准曲线与端点连线之偏差 $(\Delta y_{l,H})$ 。设整个测量范围内数值最大的正偏差为 $(\Delta y_{l,H})'_{max}$, 数值最大的负向偏差为 $(\Delta y_{l,H})''_{max}$, 那么端点连线平移线就与端点连线平行, 并使校准曲线与它的偏差极限值为:

$$\bar{y}_l + \frac{1}{2} [(\Delta y_{l,H})'_{max} + (\Delta y_{l,H})''_{max}]$$

因为端点连线平移线的斜率与端点连线的斜率相同, 故端点连线平移线方程如下:

$$y_{se} = \bar{y}_l + \frac{1}{2} [(\Delta y_{l,H})'_{max} + (\Delta y_{l,H})''_{max}] + \frac{\bar{y}_H - \bar{y}_l}{x_H - x_L} x \quad (4-16)$$

5.2 采用最小二乘法, 其计算公式如下:

$$y_{ls} = a + bx \quad (4-17)$$

最小二乘法直线的截距为:

$$a = \frac{\sum_{j=1}^m x_j^2 \sum_{j=1}^m \bar{y}_j - \sum_{j=1}^m x_j \sum_{j=1}^m \bar{y}_j}{m \sum_{j=1}^m x_j^2 - (\sum_{j=1}^m x_j)^2} \quad (4-18)$$